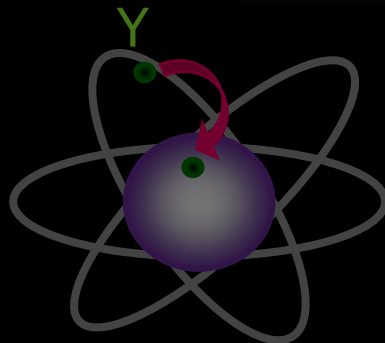
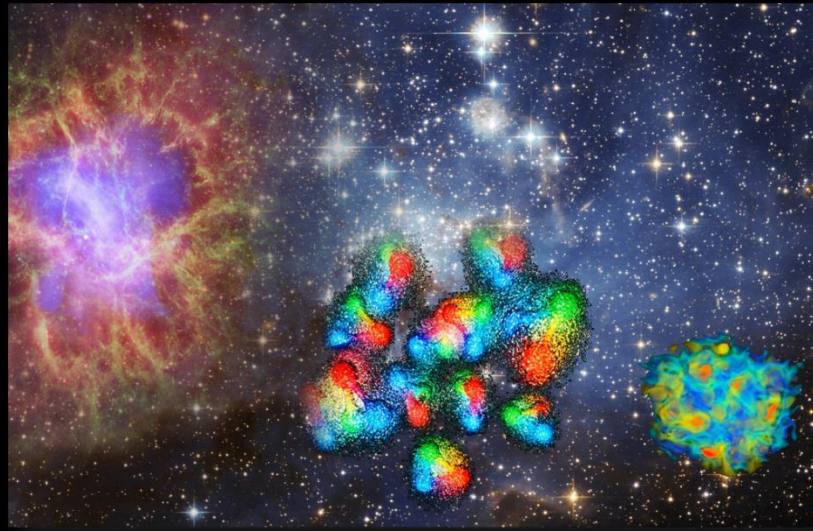


WASA @ GSI - 27th November 2017

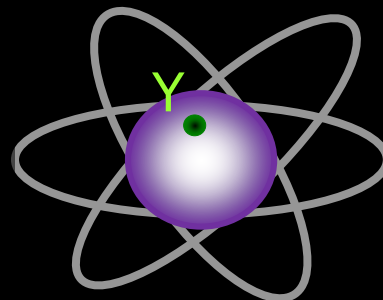
Overview of/ Motivation for Hypernuclear Physics

Bringing Heaven to Earth

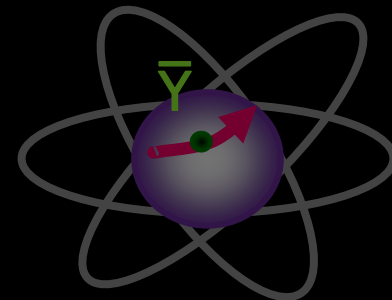
Josef Pochodzalla



hyperatoms



hypernuclei



(anti)hyperon
scattering

Neutron stars are Superstars

super high density
super strong magnetic fields
super fast rotation
super strong gravity *in Matter*

$$1 \frac{2GM}{c^2 R}$$

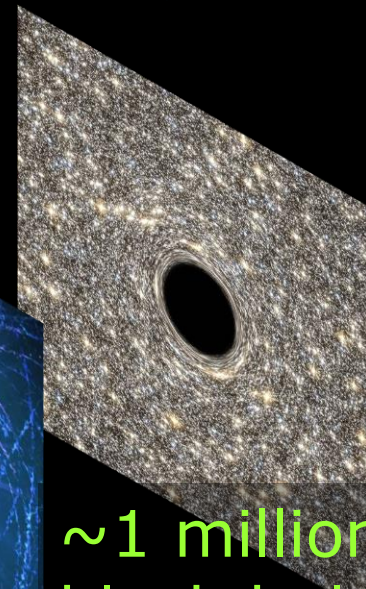
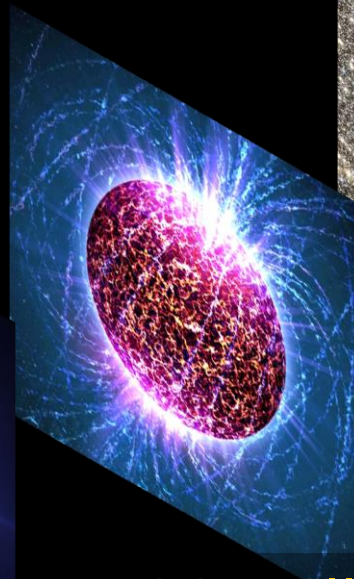
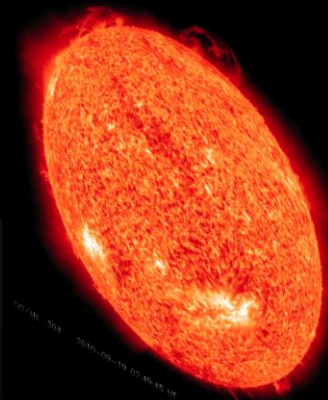
1

~ 0.3

$\sim 10^{-4}$

$\sim 10^{-7}$

$\sim 10^{-10}$



~ 1 million
black holes

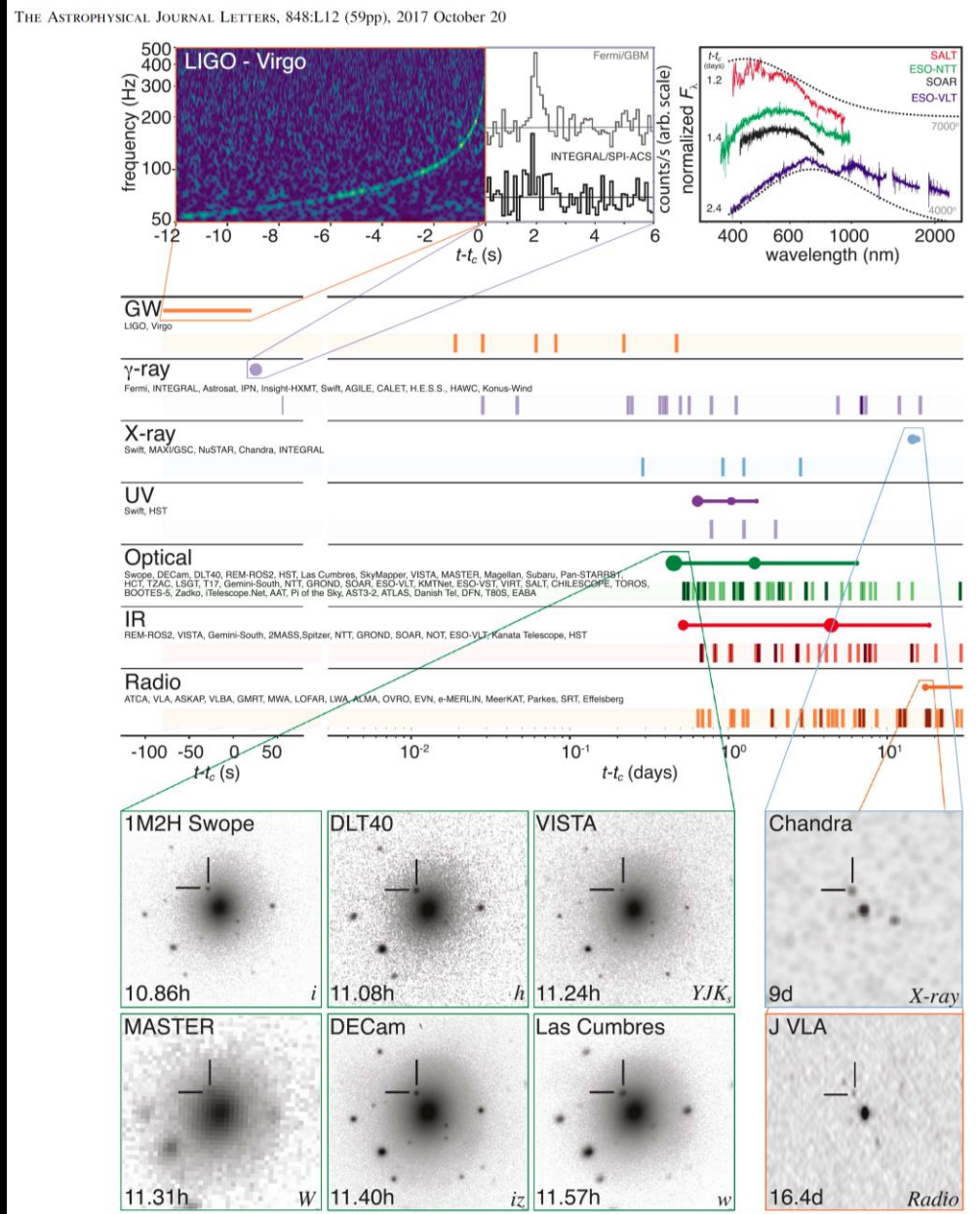
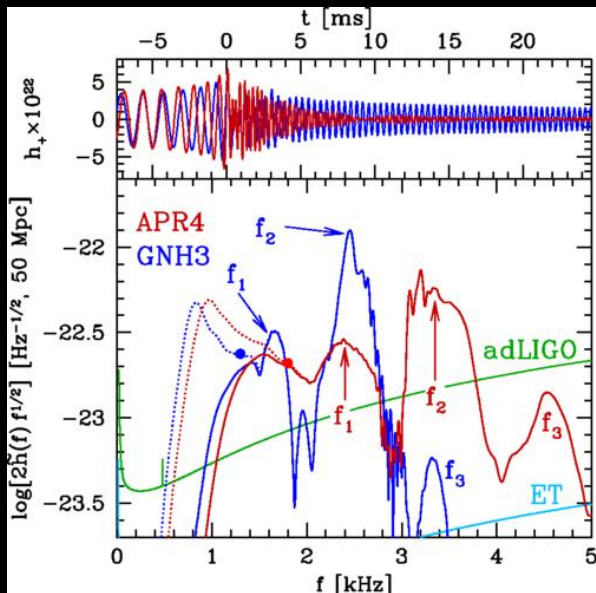
~ 100 million
neutron stars

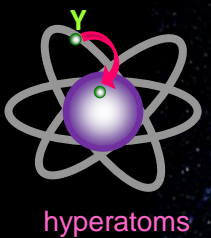
~ 10 billion
white dwarfs

in our galaxy ~ 300 billion stars

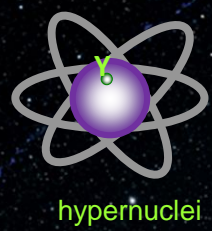
- GW170817 detected by LIGO and Virgo
- First multi-messenger observations of a binary neutron star merger
- Constraints in radius, ...
- With improved sensitivity to post-merger spectrum ⇒ EOS

A. Kentaro Takami, Luciano Rezzolla, and Luca Baiotti
 Phys. Rev. Lett. **113**, 091104



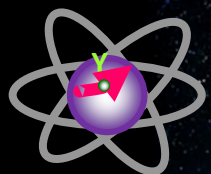


hyperatoms

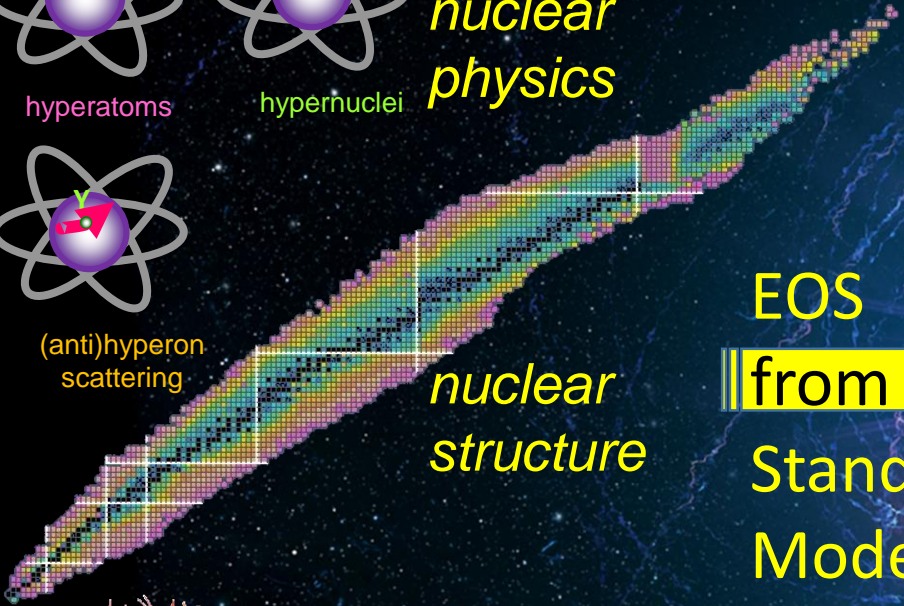


hypernuclei

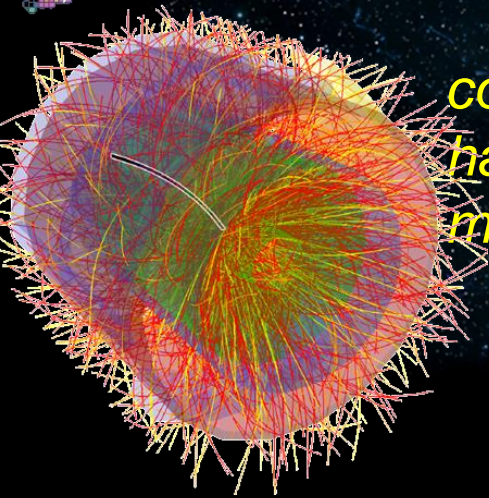
strangeness
nuclear
physics



(anti)hyperon
scattering

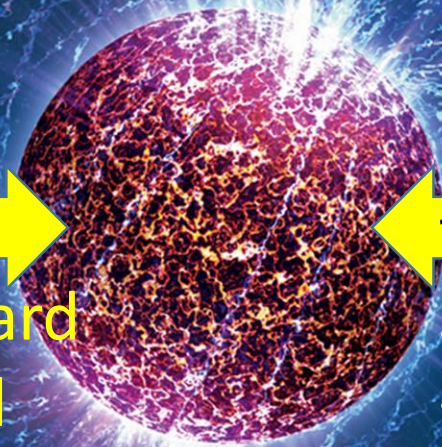


nuclear
structure

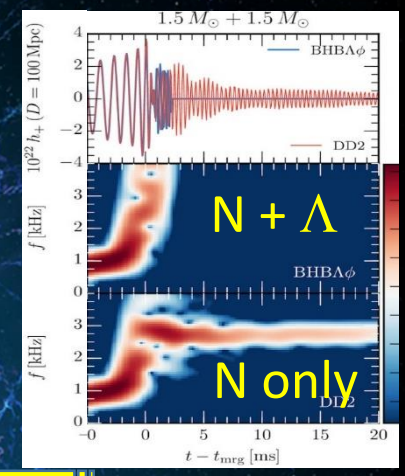


compressed
hadronic
matter

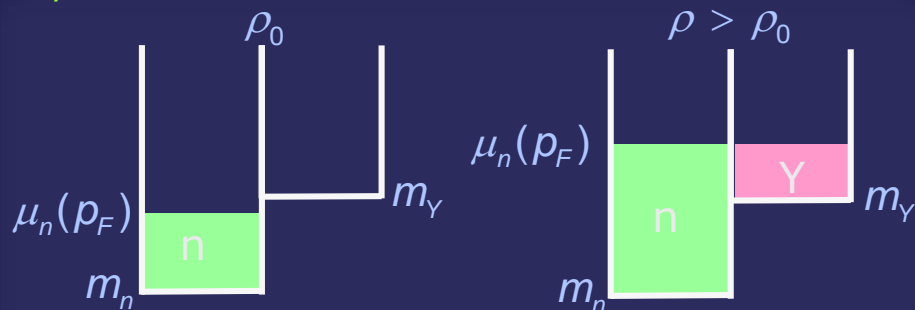
EOS
from
Standard
Model



EOS
from
Standard Model
+GRAVITY



Cameron 1959,
Ambartsumyan &
Saakyan 1960



$$e^- + p \rightarrow \nu_e + \Lambda$$

$$m_\Lambda = 1116 \text{ MeV}, m_n = 939 \text{ MeV} \Rightarrow p_{F,n} \approx 600 \text{ MeV} \approx 3 \text{ fm}^{-1}$$

$$\mu_n(p_F) = \mu_n(p_F)$$

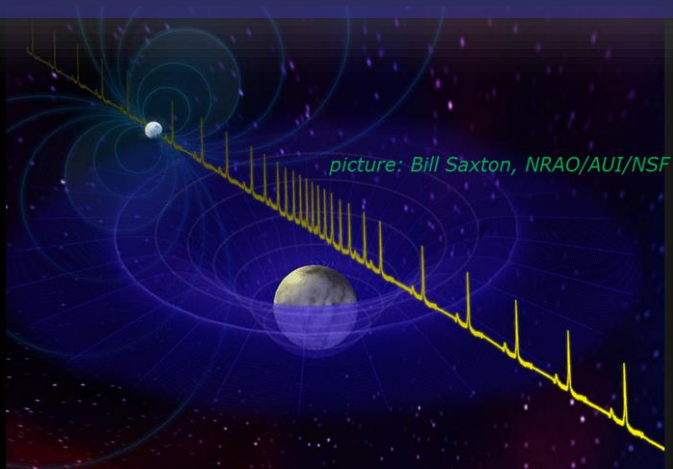
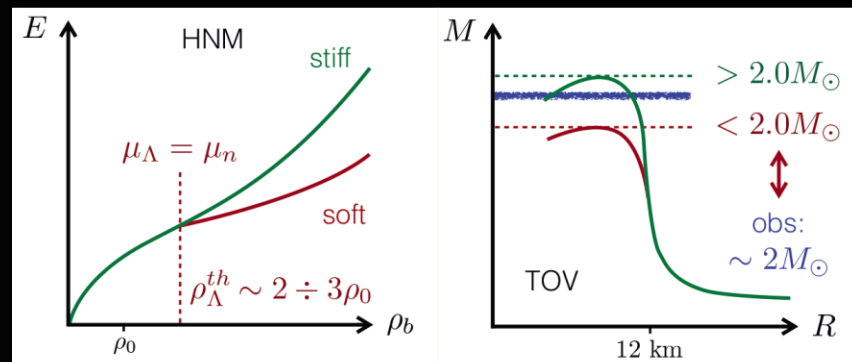
$$\mu_n(p_F) + m_n \geq m_\Lambda$$

$$\text{non-interacting Fermi-gas: } \rho = \frac{\rho_{F,n}^3}{3\pi^2} \Rightarrow \rho_{F,n}(\rho_0) = 1.7 \text{ fm}^{-3}$$

$$\Rightarrow \text{appearance of hyperons at } \rho_\Lambda \approx 5.5 \rho_0$$

$$\text{with interactions } \rho_\Lambda \approx 2 - 3 \rho_0$$

But:
 the appearance of hyperons
 ⇒ relieve of Fermi pressure
 ⇒ softer equation of state
 ⇒ reduction of maximal mass

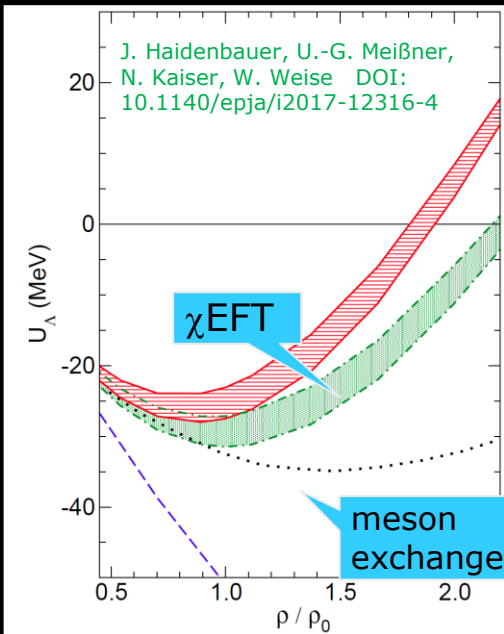


- $M(\text{PSR J1614-2230}) = 1.928 \pm 0.017 M_\odot$
- $M(\text{PSR J0348+0432}) = 2.01 \pm 0.04 M_\odot$
- $M(\text{PSR J1946+3417}) = 1.828 \pm 0.022 M_\odot$

P. B. Demorest *et al.*, Nature 467 (2010)
 update: E. Fonseca *et al.*, ApJ 832, 167 (2016)
 J. Antoniadis *et al.*, Science 340 (2013)
 E.D. Barr *et al.*, MNRAS 465, 1711-1719 (2017)

YN and YY Interaction

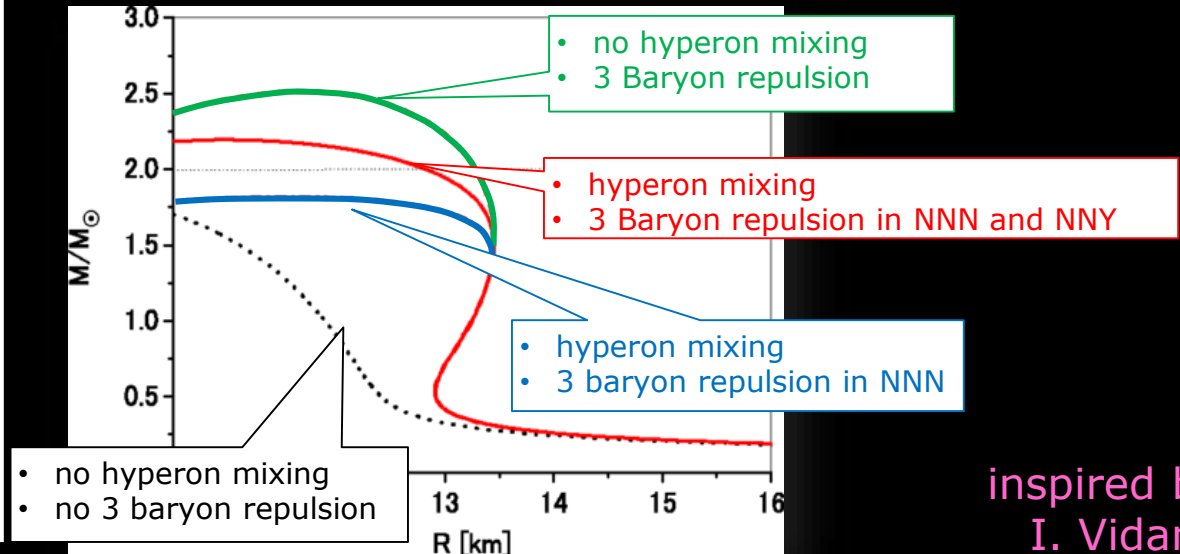
- YY vector meson repulsion: ϕ meson coupled only to hyperons; yielding strong repulsion at high ρ
- Chiral forces: YN from χ EFT predicts Λ s.p. potential more repulsive than from meson exchange



Hyperonic Three-body force

- Natural solution based on the known importance of 3NN forces in nuclear physics

Y. Yamamoto, T. Furumoto, N. Yasutake, Th. A Rijken, Phys. Rev. C 90, 045805 (2014)



Quark Matter

- Phase transition to deconfined QM at densities lower than hyperon appearance
- That requires QM which (i) is significantly repulsive
- (ii) attractive enough to avoid reconfinement

inspired by I. Vidana

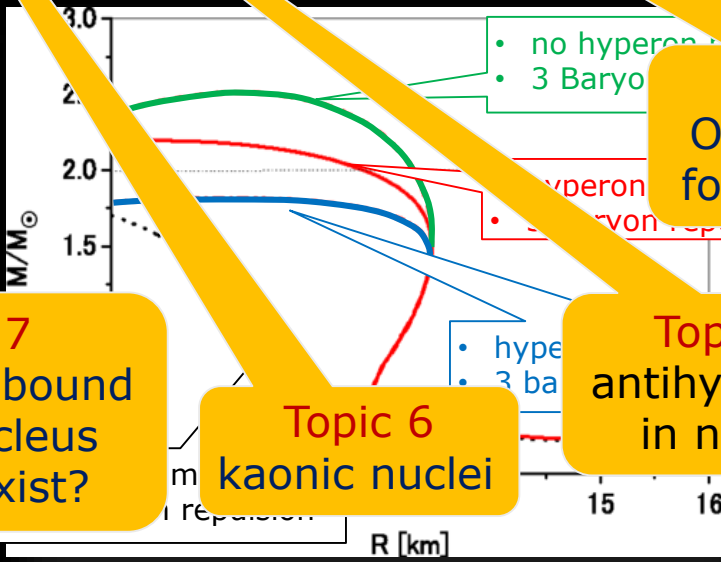
YN and YY Interaction

- YY vector meson repulsion: ϕ meson coupled only to hyperons; yielding strong repulsion at high ρ
- Chiral forces: YN from χ EFT predicts Λ s.p. potential more repulsive than from meson exchange

Hyperonic Three-body force

- Natural solution based on the known importance of 3NN forces in nuclear physics

Y. Yamamoto, T. Furumoto, N. Yasutake, T. A. Rijken, Phys. Rev. C 90, 045805 (2014)



Topic 1
Hypertriton puzzle

Topic 2
nn Λ puzzle

Topic 3
Charge Symmetry breaking $\Lambda_n - \Lambda_p$

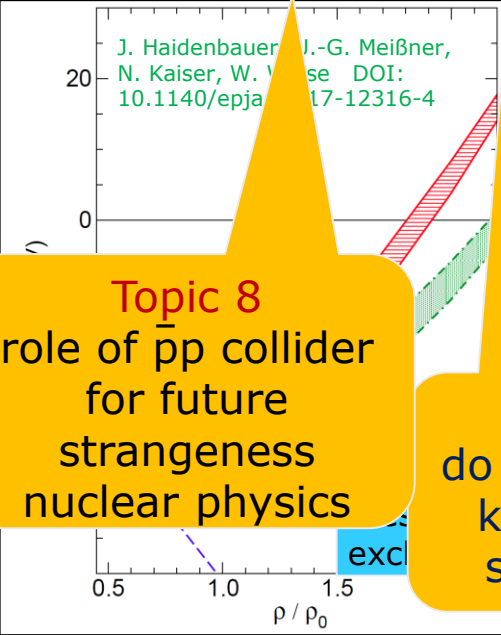
Topic 4
Optimal strategy for $\Lambda\Lambda$ hypernuclei

Topic 5
antihyperons in nuclei

Topic 6
kaonic nuclei

Topic 7
do deeply bound kaon-nucleus states exist?

Topic 8
role of $\bar{p}p$ collider for future strangeness nuclear physics



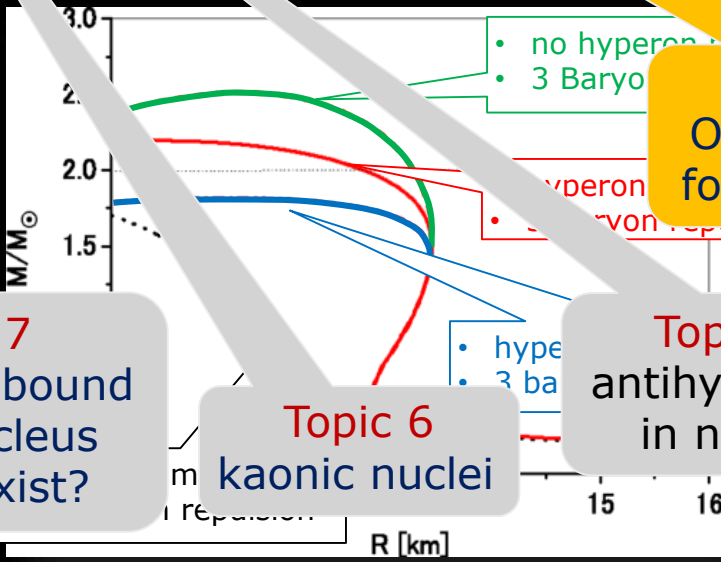
YN and YY Interaction

- YY vector meson repulsion: ϕ meson coupled only to hyperons; yielding strong repulsion at high ρ
- Chiral forces: YN from χ EFT predicts Λ s.p. potential more repulsive than from meson exchange

Hyperonic Three-body force

- Natural solution based on the known importance of 3NN forces in nuclear physics

Y. Yamamoto, T. Furumoto, N. Yasutake, T. A. Rijken, Phys. Rev. C 90, 045805 (2014)



Topic 1
Hypertriton puzzle

Topic 2
nn Λ puzzle

Topic 3
Charge Symmetry breaking $\Lambda_n - \Lambda_p$

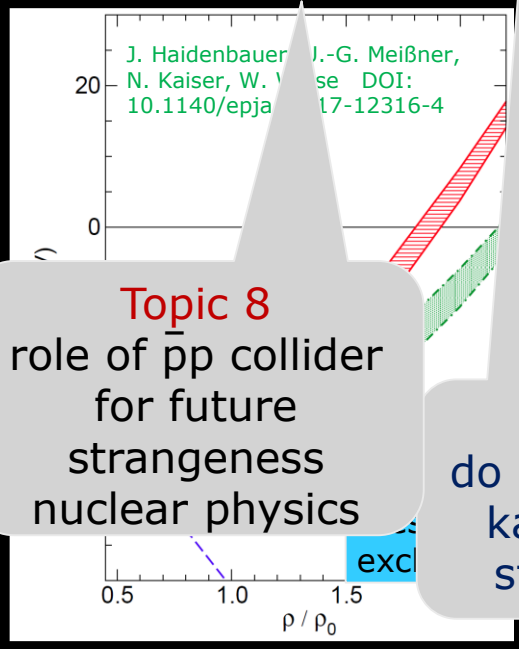
Topic 4
Optimal strategy for $\Lambda\Lambda$ hypernuclei

Topic 5
antihyperons in nuclei

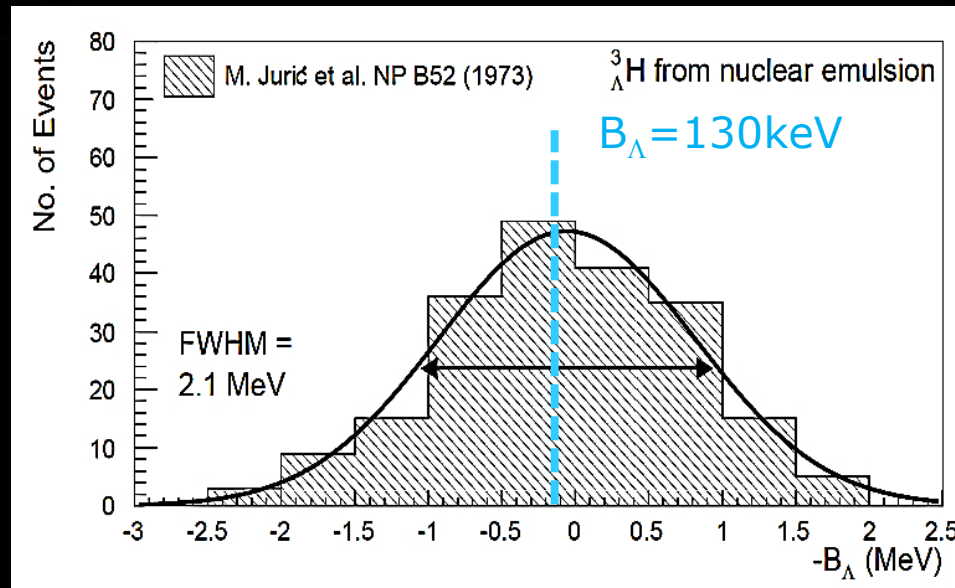
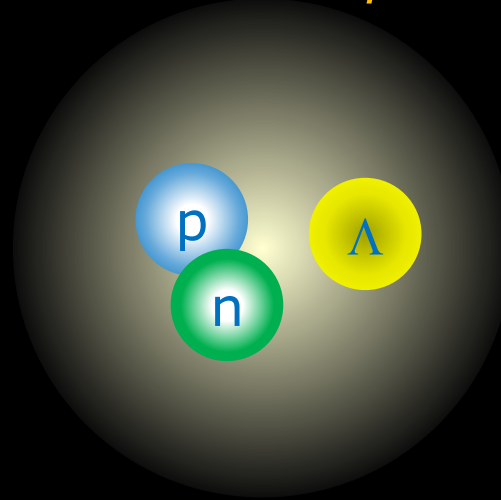
Topic 6
kaonic nuclei

Topic 7
do deeply bound kaon-nucleus states exist?

Topic 8
role of pp collider for future strangeness nuclear physics



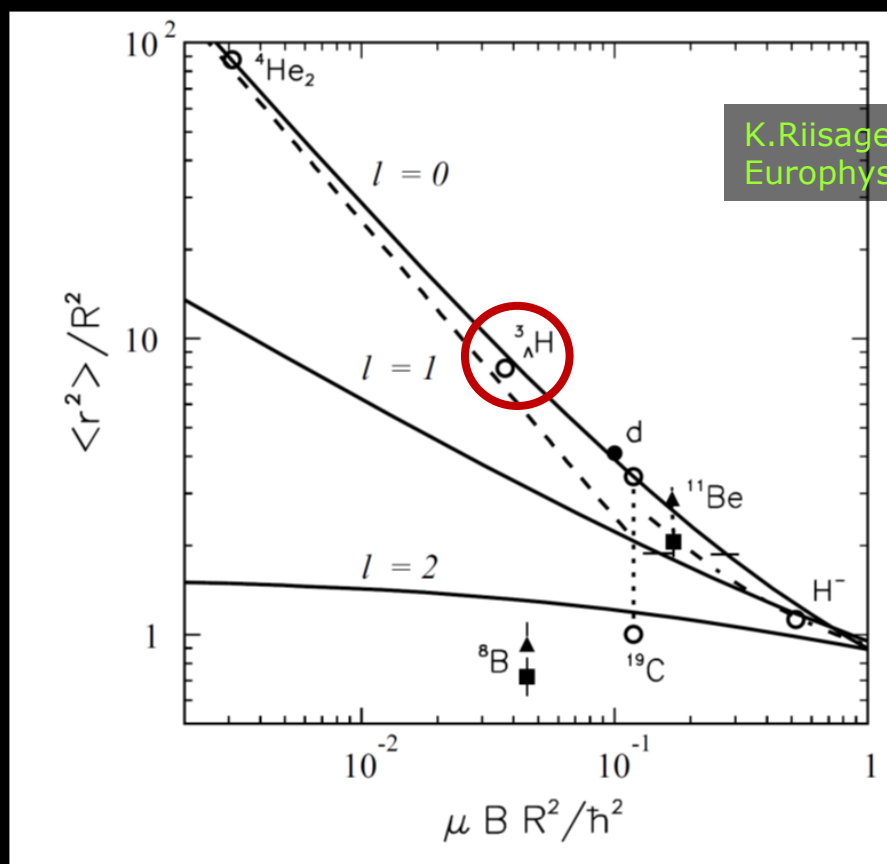
Do we understand the simplest Hypernucleus?



- ${}^3_{\Lambda}\text{H}$ is most fascinating halo nucleus
 - Binding energy $\approx 130\text{keV}$ \Rightarrow Characteristic length of two-body s-wave halo system small

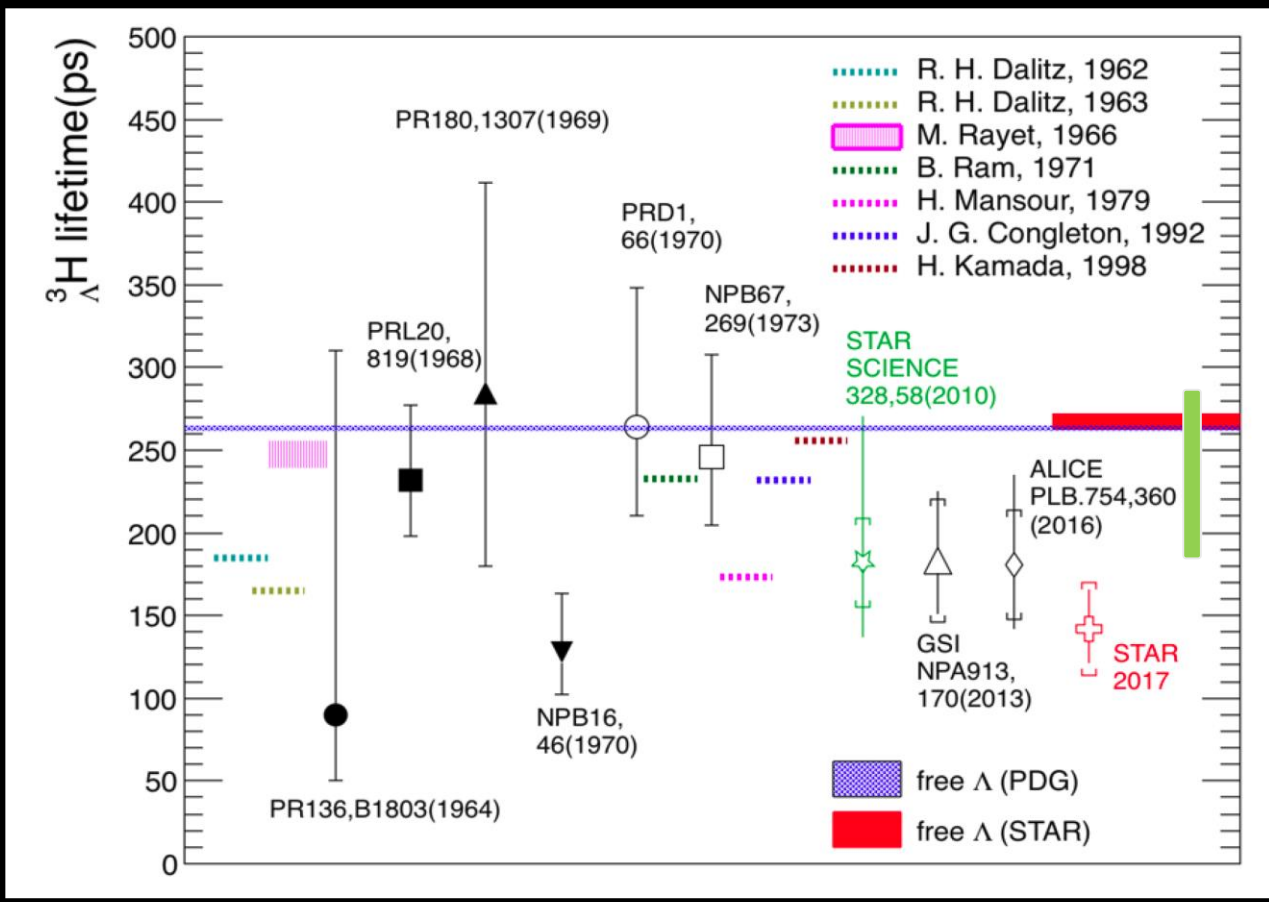
$$\langle \Delta r^2 \rangle = \hbar^2 / (4\mu B) \xrightarrow{{}^3_{\Lambda}\text{H}} 10\text{ fm}$$

ratio of halo and core-potential
square radii



K. Riisager, D.V. Fedorov and A.S. Jensen,
Europhys. Lett 49, 547 (2000)

scaled separation energy



ALICE, preliminary
 $237^{+33}_{-36}(\text{stat.}) \pm 17(\text{syst.})\text{ps}$

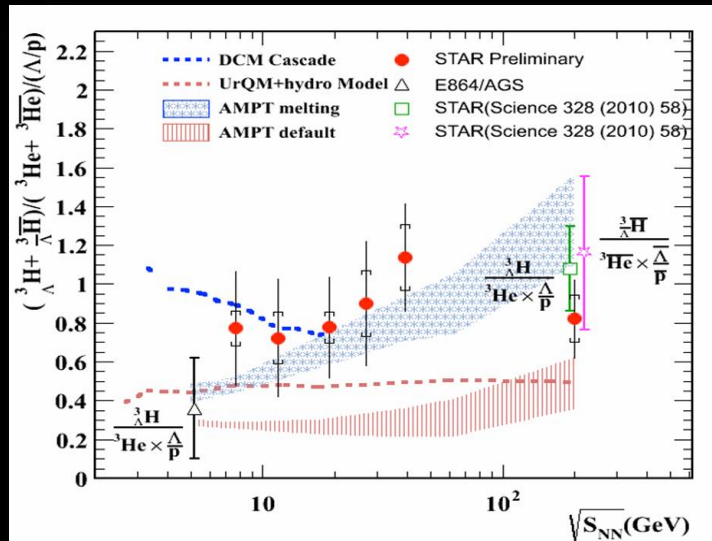
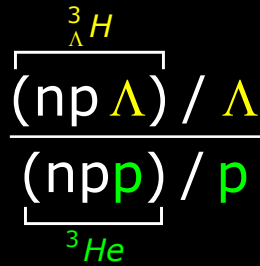
STAR arXiv:1710.00436v1 [nucl-ex] 1st Oct 2017

small binding energy ? small lifetime

small binding energy ? small lifetime

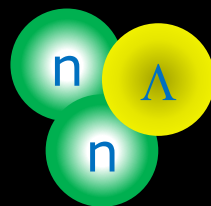
- New precision mass measurement at MAMI in 2019
 - Make use of excellent beam quality at MAMI
 - Precision *absolute* energy calibration interference of undulator radiation

- new lifetime measurements
 - 2019: ELPH (γ, K^+)
 - 2019: WASA @ GSI/FAIR
 - 2018: ALICE - end Run2: 2x statistics
 - 2023: ALICE – end run 3: 200x stat.
 - 202x: J-PARC (π^-, K^0)

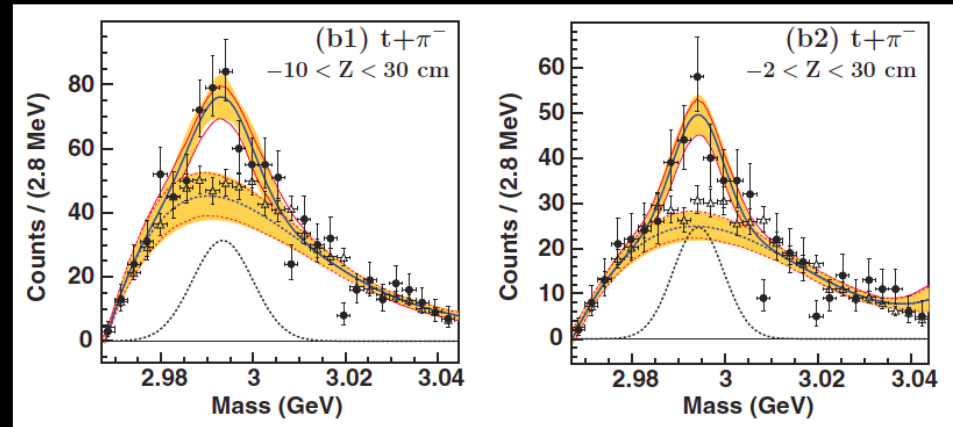


ALICE

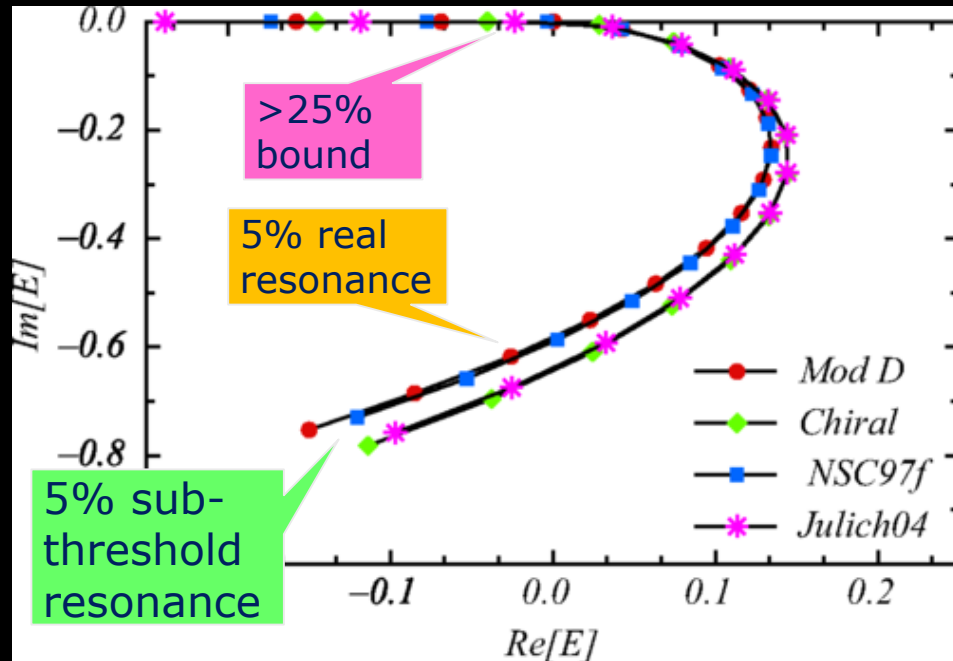
Does this "Femto Neutron Star" really exist?



- Such a state has been suggested by the HypHI collaboration
- weak decay $nn\Lambda \rightarrow \pi - ^3\text{H}$
 \Rightarrow bound state
- Statistical Decay Model ${}^6_{\Lambda}\text{He}^*$ at $E_x = 40\text{MeV}$
 - Λ 30.7% $nn\Lambda$ 17.3%
 - ${}^3_{\Lambda}\text{H}$ 13.9% ${}^4_{\Lambda}\text{H}$ 29.2%
 - ${}^4_{\Lambda}\text{He}$ 3.9% ${}^5_{\Lambda}\text{He}$ 4.8%
- but: all modern state of the art ab initio theories do not allow a bound $nn\Lambda$ state
- Do we really understand the Λ -neutron interaction?
 - N-N scattering: 4000 data
 - Y-p scattering: 100 data
 - Y-n scattering: 0 data



C. Rappold et al., Phys. Rev. C 88 , 041001(R) (2013)



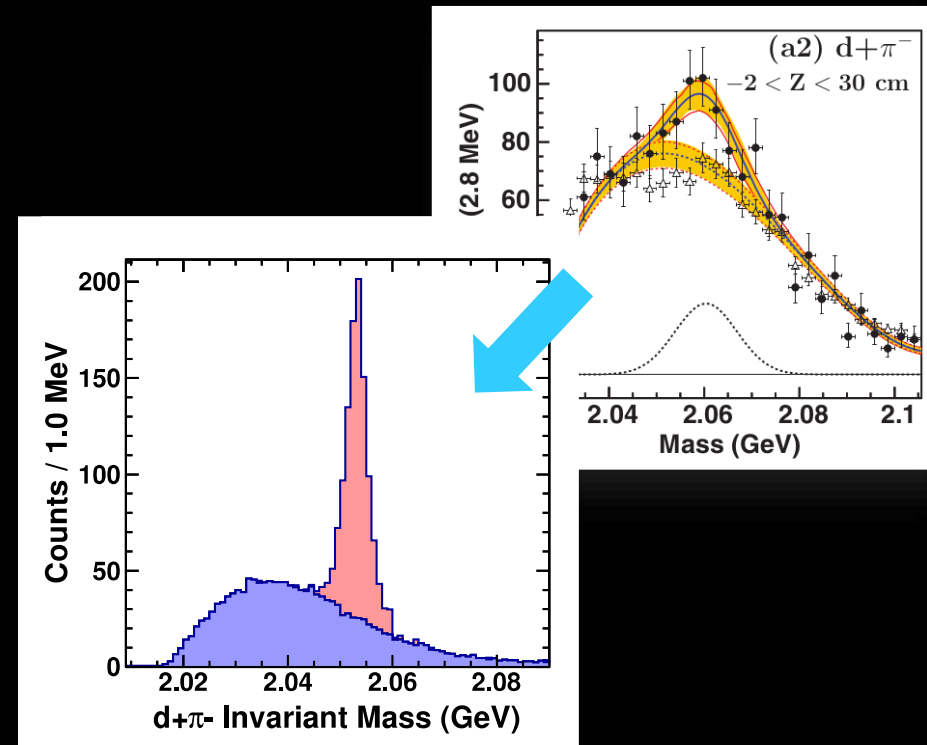
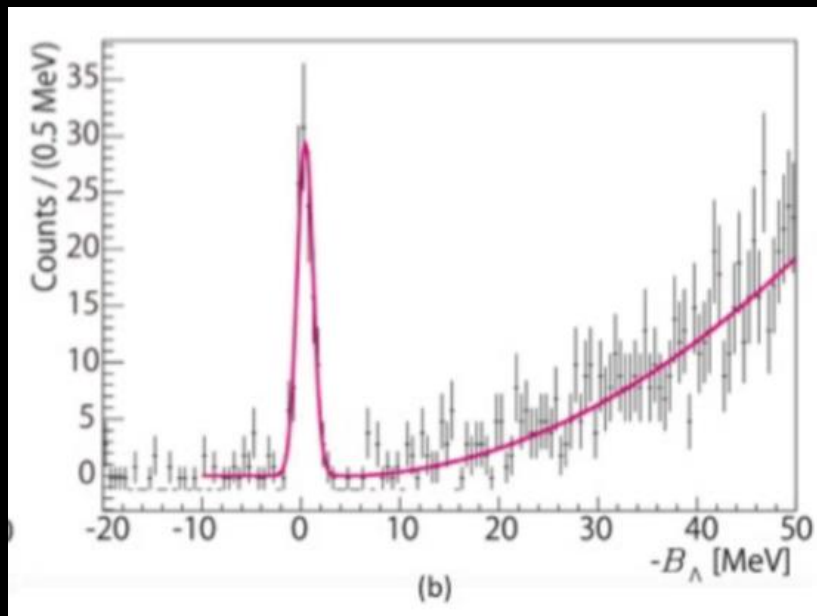
Iraj R. Afnan and Benjamin F. Gibson
 Phys. Rev. C 92, 054608

➤ 2018: J-Lab E12-17-003

- ${}^3\text{H}(e,e'K^+)(nn\Lambda)$
- missing mass experiment
- will measure mass and width

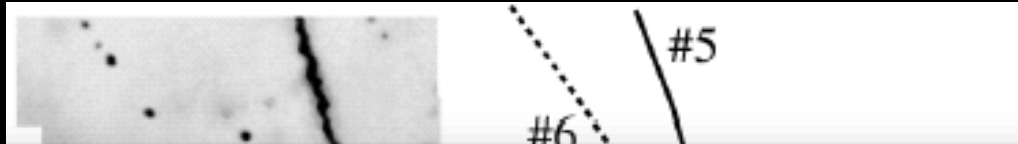
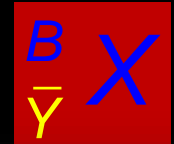
➤ 2019: FRS+WASA for S447

- ${}^6\text{Li}+{}^{12}\text{C}$
- for $d+\pi$ 2× better mass resolution
- 8 times better S/BG ratio
- lifetime



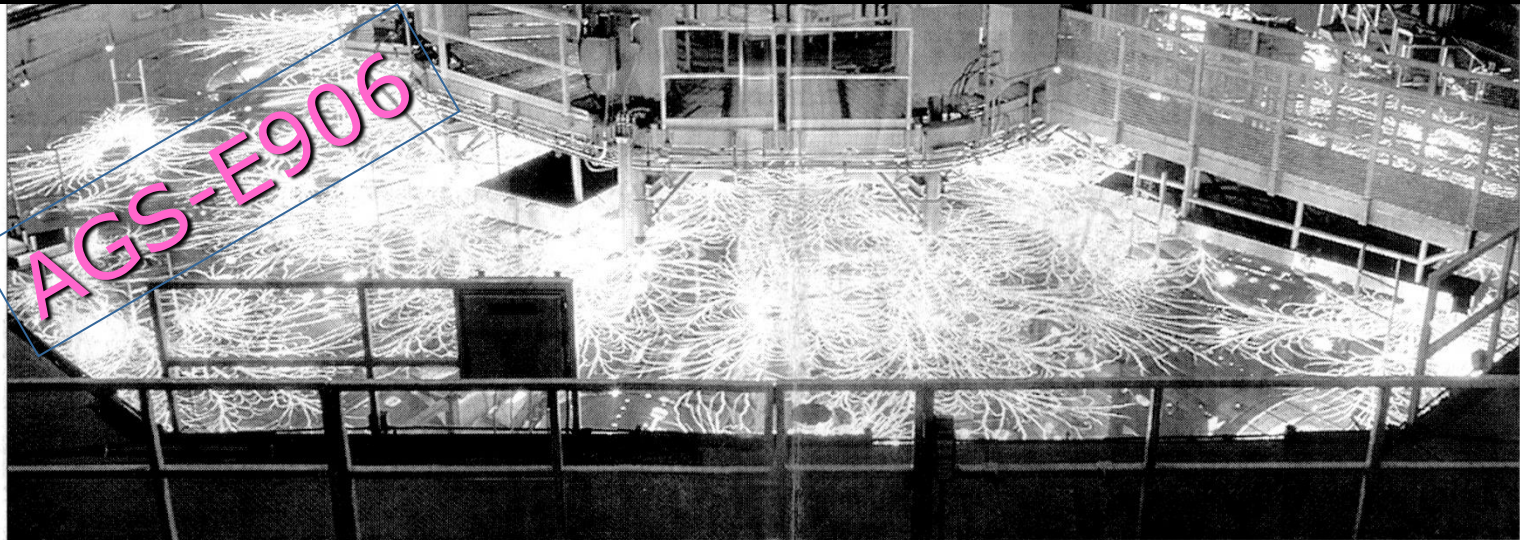
The existence of this „femto-neutron star“ would require to re-think our understanding of three-body interactions

H. Takahashi et al., PRL 87, 212502-1 (2001)



Nucleus	$\Delta B_{\Lambda\Lambda}(^A_{\Lambda\Lambda}Z)$ (MeV)	Experiment	Reference	Remark
$^{10}_{\Lambda\Lambda}\text{Be}$	4.3 ± 0.4	Danysz (1963)	[77, 78] [74]	K^- + nuclear emulsion; $\Delta B_{\Lambda\Lambda}$ consistent with NAGARA if decay to $^9_{\Lambda}\text{Be}^*$ at $E_x \approx 3$ MeV [81, 11]
$^6_{\Lambda\Lambda}\text{He}$	4.7 ± 0.6	Prowse (1966)	[198]	K^- + nuclear emulsion only schematic drawing
$^{10}_{\Lambda\Lambda}\text{Be}$ or $^{13}_{\Lambda\Lambda}\text{B}$	-4.9 ± 0.7 0.6 ± 0.8	KEK-E176 (1991) Aoki event	[20, 245] [88, 24, 172]	hybrid-emulsion $(K^-, K^+)\Xi^-_{stopped}$
$^6_{\Lambda\Lambda}\text{He}$	0.67 ± 0.17	KEK-E373 (2001) NAGARA event	[226, 172] [11]	hybrid emulsion
$^{10}_{\Lambda\Lambda}\text{Be}$ or $^{10}_{\Lambda\Lambda}\text{Be}^*$	-1.65 ± 0.15	KEK-E373 (2001) DEMACHIYANAGI event	[10, 172] [11]	$B_{\Lambda\Lambda}$ consistent with Danysz if $E_x \approx 2.8$ MeV
$^6_{\Lambda\Lambda}\text{He}$ or $^{11}_{\Lambda\Lambda}\text{Be}^*$	3.77 ± 1.71 3.95 ± 3.00 or 4.85 ± 2.63	KEK-E373 (2003) MIKAGE event	[227, 11]	
$^{12}_{\Lambda\Lambda}\text{Be}$ or $^{11}_{\Lambda\Lambda}\text{Be}^*$	2.00 ± 1.21 2.61 ± 1.34	KEK-E373 (2010) HIDA event	[172, 11]	

$\Xi^- p \rightarrow \Lambda\Lambda + 28\text{MeV}$



Mit riesigen Maschinen wandeln die modernen Alchimisten Materie ineinander um oder erzeugen gar Materieformen, die es auf der Erde überhaupt nicht gibt. Das Foto zeigt eine Kernfusionsanlage in Neu-Mexiko

Doppelt seltsame Atomkerne synthetisiert

Nach 40 Jahren gelingt Physikern in den USA die Herstellung von exotischer Neutronenstern-Materie

VON BRIGITTE RÖTHLEIN

Brookhaven – Drei Jahre nach Abschluss einer Serie von Experimenten konnten Forscher im Brookhaven National Lab auf Long Island bei der Auswertung der Ergebnisse eine bisher nicht bekannte Art von Materie nachweisen. Sie entstand 1998 bei Zusammenstoßen von Wolframatomen mit superschnellen Protonen.

Die Physiker sprechen von „doppelt seltsamen Kernen“ und bringen damit zum Ausdruck, dass sich bei den Kollisionen im Beschleuniger ein Komplex aus mehreren Teilchen gebildet hat, der normalen Atomkernen nicht unähnlich ist. Das Besondere daran ist jedoch, dass diese

Gebilde je zwei „seltsame“ Teilchen enthalten.

Die Experimente von Teilchenforschern laufen in Sekundenbruchteilen ab. Man lässt dabei beschleunigte Elementarteilchen auf Ziele prallen und untersucht mit Hilfe großer Detektoren, welche Bruchstücke dabei entstehen. Die Vielzahl der in den letzten Jahrzehnten auf diese Weise entdeckten Teilchen hat gezeigt, dass sich unsere „normale“ Materie auf zwei so genannte Quarks (mit den Namen „up“ und „down“) und Elektronen zurückführen lässt.

Daneben gibt es aber auch noch exotische Arten von Materie, die aus schwereren Teilchen bestehen und auf der Erde üblicherweise nicht

vorkommen. Zur Unterscheidung erhielten die Quarks dieser Materie die willkürlich gewählten Namen „strange“ (seltsam) und „charm“.

Aus den Millionen von Daten, die während einer Messkampagne entstehen, müssen die Physiker am Ende die wirklich relevanten „Ereignisse“ herausfinden, die sprichwörtliche Nadel im Heuhaufen. In Brookhaven hat sich die Mühe offenbar gelohnt; aus 100 Millionen infrage kommenden Ereignissen filterten Computer zunächst 100 000 heraus, unter denen man dann 30 bis 40 mit den gesuchten Eigenschaften fand. „Hier wurde zum ersten Mal eine größere Anzahl von seltsamen Atomkernen erzeugt“, erklärt Adam Rusek, der

stellvertretende Sprecher der 50 beteiligten Physiker aus sechs Ländern.

40 Jahre lang hatte man in den USA, Europa und Japan nach den Gebilden gesucht, aber nur je eines davon gefunden, zum Teil mit zweifelhafter Sicherheit. Nun gelang es nachzuweisen, dass über einen mehrstufigen Zerfallsprozess Strukturen entstanden waren, die aus einem Neutron, einem Proton und zwei Lambda-Teilchen bestanden. Diese enthalten je ein up- und ein down-Quark und ein seltsames (strange) Quark. Die Lambda-Paare sind nun die bejubelten „doppelt seltsamen Kerne“. Es ist allerdings sehr schwierig, sie näher zu untersuchen, da sie bereits nach weniger

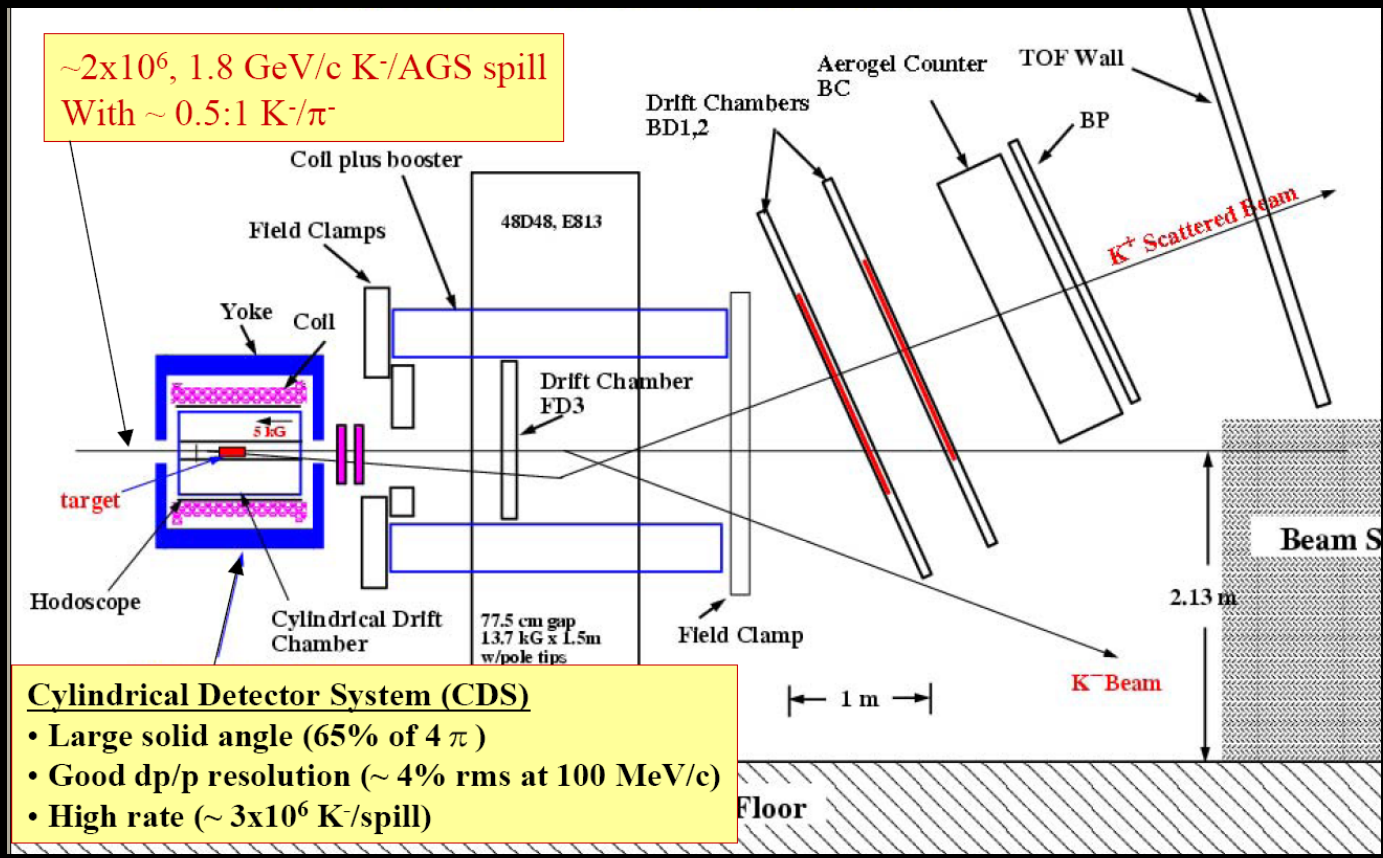
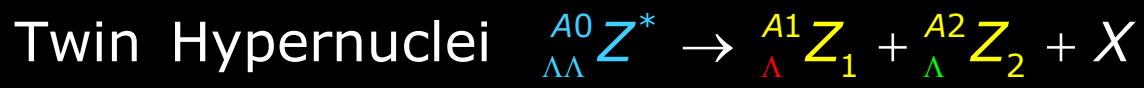
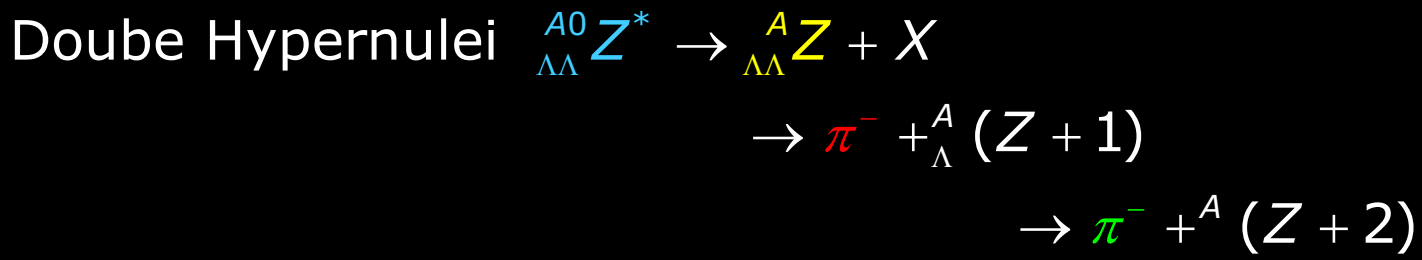
als einer Milliardstel Sekunde wieder zerfallen.

Die Forscher erhoffen sich vom Studium der seltsamen Kerne Erkenntnisse über jene Kräfte, die zwischen den Teilchen wirken. Daraus wollen sie Rückschlüsse auf die Prozesse in so genannten Neutronensternen ziehen. Diese Himmelskörper entstehen, wenn heiße Sterne am Ende ihres Lebens ausgebrannt sind und in sich zusammenstürzen. Man vermutet, dass sie große Mengen seltsamer Teilchen enthalten und dass sie der einzige Ort im All sind, wo seltsame Materie stabil existiert.



Weitere Informationen im Web:
www.bnl.gov

The E906: ${}^9\text{Be}(K^-, K^+ \pi^- \pi^-)$



K⁻

K⁺

beam
dump

consistent with
single Λ
hypernuclei

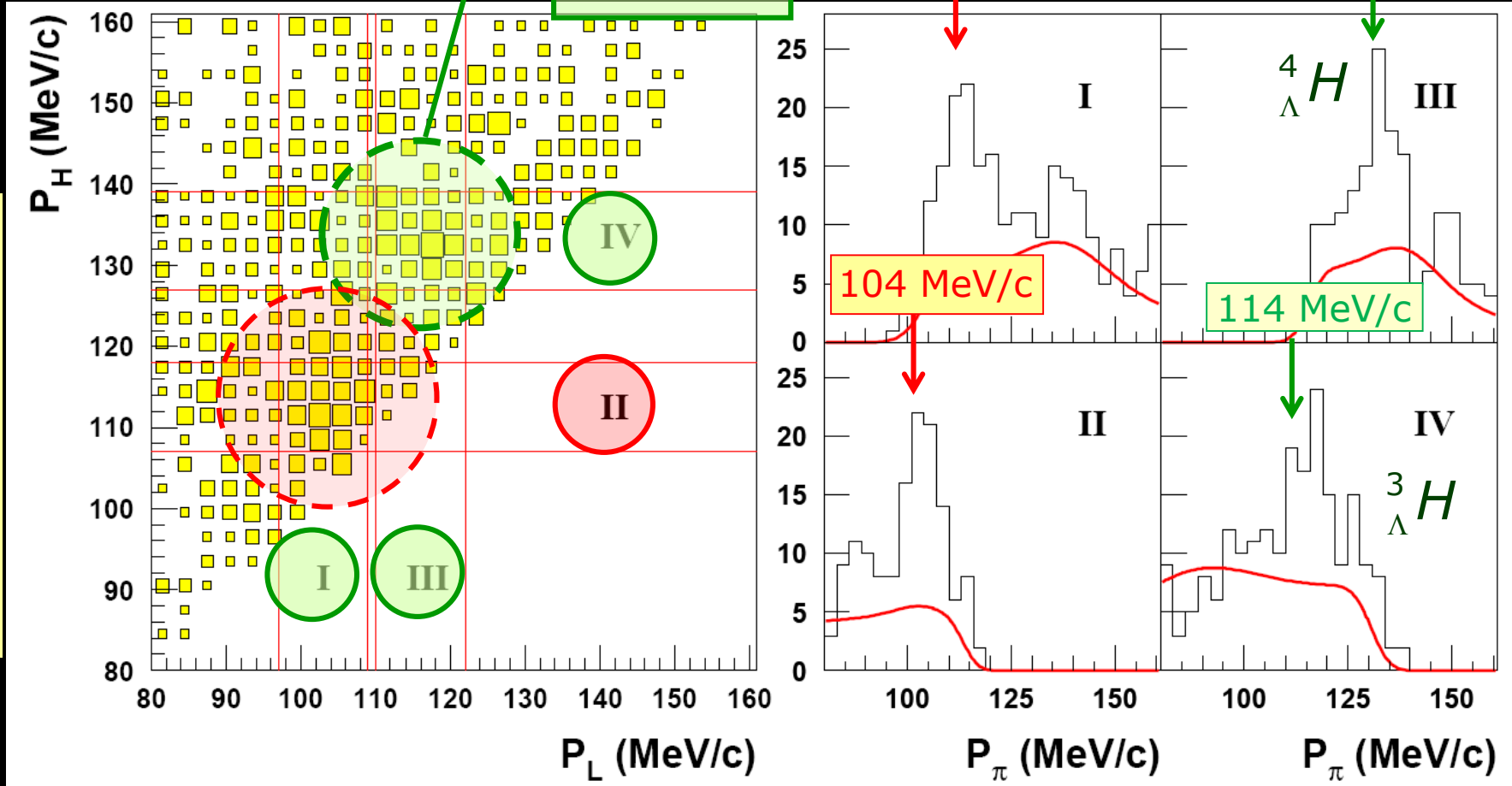
- $9 \cdot 10^{11}$ K^- on Be target
- $1.1 \cdot 10^5$ trigger

momentum of the pion with lower momentum

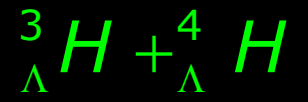
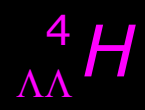
twin hypernuclei

114 MeV/c

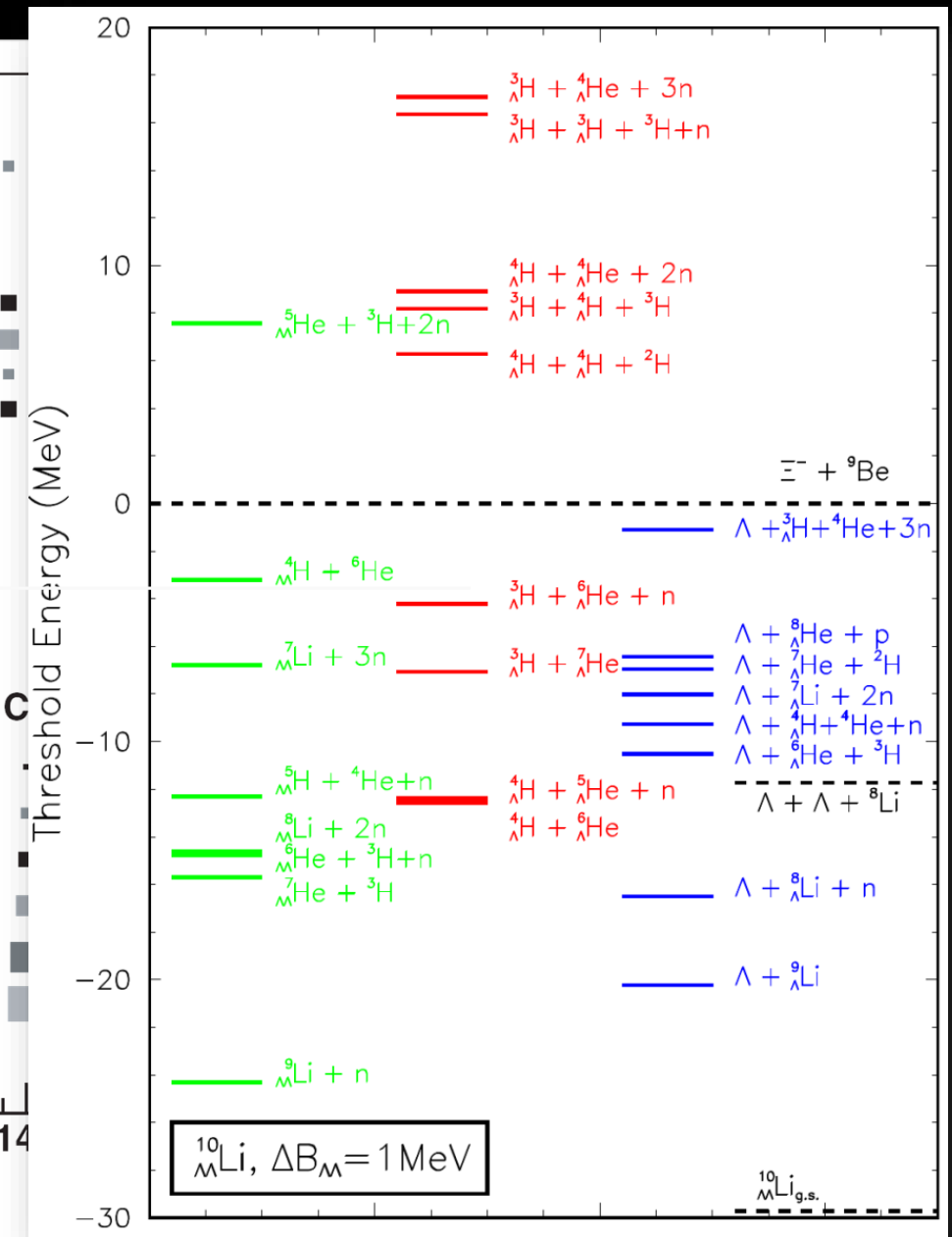
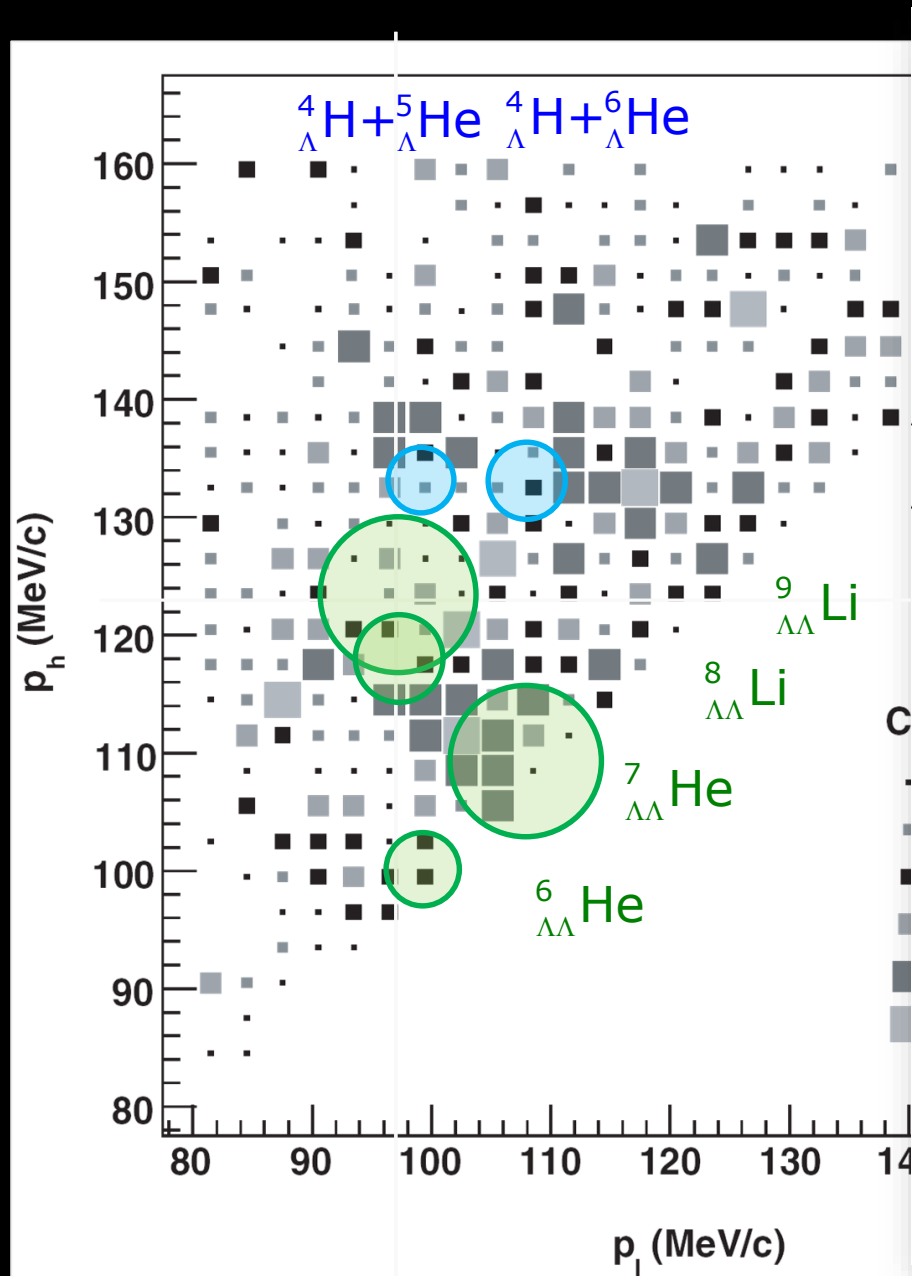
133 MeV/c



momentum of the pion with lower momentum



Ξ^- Stopping & Fusion: $\Xi^- + {}^9\text{Be} \rightarrow {}^{10}_{\Lambda\Lambda}\text{Li}^*$



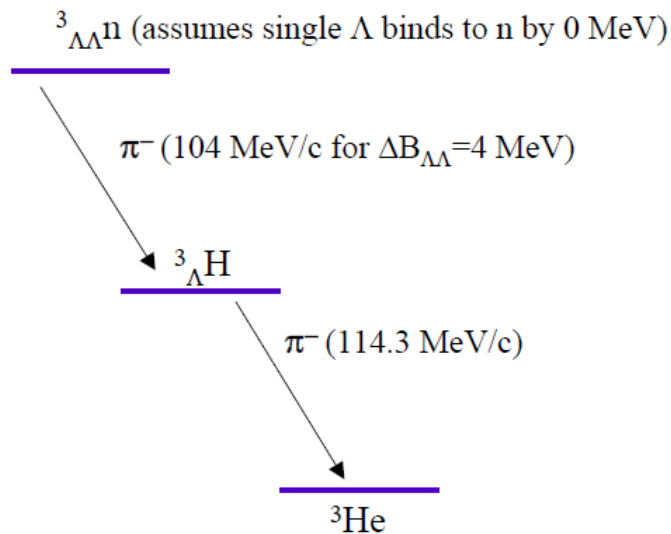
A. Gal, HYP2003

October 17, 2003

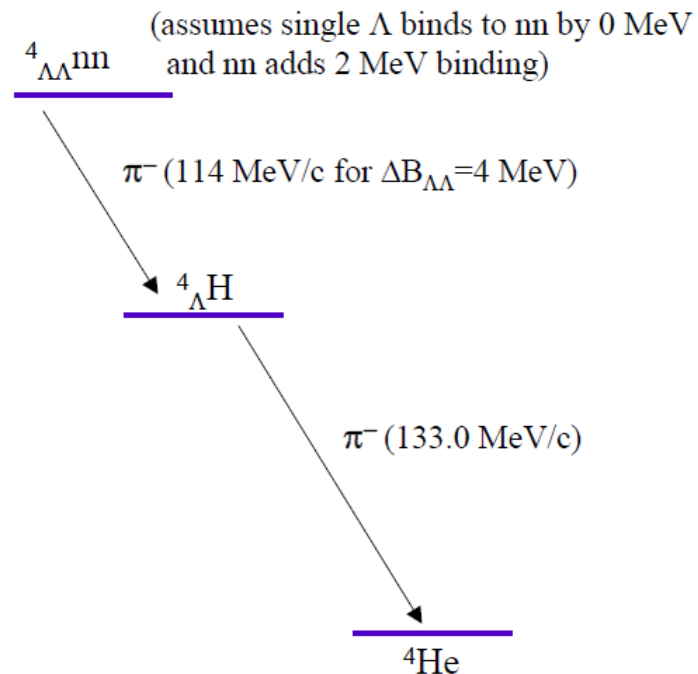
29

Another Possibility ${}^4_{\Lambda\Lambda}n$ (Gal)

104 X 114 MeV Lines



114 X 133 MeV Lines



HYP2003

➤ $\Lambda\Lambda n$ possibly bound

PRL **110**, 012503 (2013)

PHYSICAL REVIEW LETTERS

week ending
4 JANUARY 2013

Strangeness -2 Hypertriton

H. Garcilazo¹ and A. Valcarce²

¹*Escuela Superior de Física y Matemáticas, Instituto Politécnico Nacional, Edificio 9, 07738 México Distrito Federal, Mexico*

²*Departamento de Física Fundamental, Universidad de Salamanca, E-37008 Salamanca, Spain*

(Received 19 October 2012; published 4 January 2013)

We solve for the first time, the Faddeev equations for the bound state problem of the coupled $\Lambda\Lambda N - \Xi NN$ system to study whether or not a hypertriton with strangeness -2 may exist. We make use of the interactions obtained from a chiral quark model describing the low-energy observables of the two-baryon systems with strangeness 0, -1 , and -2 and three-baryon systems with strangeness 0 and -1 . The $\Lambda\Lambda N$ system alone is unbound. However, when the full coupling to ΞNN is considered, the strangeness -2 three-baryon system with quantum numbers $(I, J^P) = (\frac{1}{2}, \frac{1}{2}^+)$ becomes bound, with a binding energy of about 0.5 MeV. This result is compatible with the nonexistence of a stable ${}^3_{\Lambda}\text{H}$ with isospin one.

➤ $nn\Lambda\Lambda$ may be bound (particularly if $nn\Lambda$ is bound)

- $S=0, I=1, L=0$
- No Pauli blocking
- Groundstate: $J^P=0^+$
- calculation still rather schematic

J.-M. Richard, Q. Wang, and Q. Zhao, *Phys. Rev. C* **91**, 014003 (2015)

➤ If $n\Lambda\Lambda$ and $nn\Lambda\Lambda$ are bound, they might help to understand the E906 puzzle

strangeness in nuclei

- *$Y^n N^m$ interaction are important*
- *precision studies are needed*
- *after 60 still many puzzles*

WASA@GSI/FAIR will address two important topics

- *existence of $nn\Lambda$*
- *lifetime of hypertriton*

many things could not be mentioned

- *charge symmetry breaking*
- *hyperon mixing*
- *hyper atoms*
- *...*
- *mini $\bar{p}p$ collider at FAIR⁺⁺ ?*

Networking Activity @ HORIZON 2020

THEIA

The role of strange Hadrons for the Equation-of-state In compact Astronomical bodies

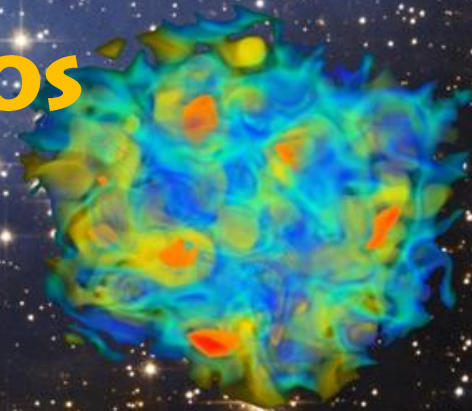
Josef Pochodzalla

JGU Mainz & Helmholtz-Institut Mainz

HYPERION ∞



= EOS





**Thank you
for your attention**